

매트릭스를 利用한 混合交換圖의 配置 알고리즘

(The Placement Algorithm of the Shuffle-Exchange Graph Using Matrix)

河 岐 鍾**, 崔 英 奎*, 黃 好 正*

(Ki Jong Hah, Young Kyoo Choi and Ho Jung Hwang)

要 約

混合交換 그래프는 DFT, 매트릭스 積, 그리고 分類와 같은 並列 알고리즘을 수행하기 위한 좋은 構造로 알려져 있다. 本 論文에서는 shuffle-exchange 그래프에 대한 레이아웃을 記述하고 이 layout이 가능한 적은 面積, 적은 線交叉 그리고 짧은 配線長을 갖는 配置에 중점을 둔 알고리즘을 提示해 N-節點에 對한 shuffle-exchange 그래프의 配置 結果와 評價要素를 FORTRAN과 BASIC 프로그램으로 각각 수행시켜 그 結果를 얻었다.

Abstract

The shuffle-exchange graph is known as a structure to perform the parallel algorithms like Discrete Fourier Transform (DFT), matrix multiplication and sorting.

In this paper, the layout for the shuffle-exchange graph is described and this layout places emphasis on the placement of nodes that has the capability to have as small area as possible, have as a small number of crossings as possible, and have as short wires as possible.

The algorithm corresponding these conditions is proposed and each evaluation factor and the placement of the N-node shuffle-exchange graph is performed with FORTRAN and BASIC program, and these results are calculated.

I. 序 論

최근 VLSI제조기술의 급진적인 發展과 더불어 단 日 積상의 集積度가 증가함에 따라 最單經路로 配線하는 레이아웃 디자인 분야에 많은 研究가 行하여지고 있다. VLSI를 設計하는데 있어서, 특히 DFT(Discrete Fourier Transform)의 計算, 매트릭스의積, 多項式의 計算, 그리고 分類(sorting) 등^[23]을 수행하

데 用되어질 수 있는 混合交換網(shuffle-exchange network)을 레이아웃하는데 實제적으로 고려할 點들은 다음과 같다.

첫째, 面積(area)을 많이 차지하는 칩(chip)들은 적은 面積을 차지하는 칩들보다 많은 費用과 적은 生産性を 招來하기 때문에 그 레이아웃은 가능한 적은 面積을 차지해야 하고,

둘째, 보다 많은 線交叉(wire crossing)를 가지는 칩들은 보다 적은 wire交叉를 가지는 칩들보다 많은 結合 容量性 문제가 뒤따르게 되므로 가능한 적은 wire交叉들을 가져야 하며,

셋째, 긴 wire를 가진 칩들은 짧은 wire를 가진 칩들보다 많은 電力의 損失과 遲延 시간이 문제가 되므로 가능한 짧은 wire들을 가져야만 한다.

*正會員, 中央大學校 電子工學科
(Dept. of Elec. Eng., Chung-Ang Univ.)

**正會員, 韓國電氣通信公社 事業支援本部
(Maintenance Centralization Lab., Korea Telecommunication Authority Research Center)

接受日字: 1986年 9月 17日

본 논문에서는上記와 같은條件을 滿足시키는데 중점을 둔 매트릭스(adjacency matrix)를 이용한 새로운 配置 알고리즘을 수행하는 프로그램을 開發하고자 한다.

II. 定義와 理論

1. Shuffle-Exchange 그래프의 定義

Shuffle-exchange 그래프는 多樣한 規模로 나타낼 수 있는데, 특히 shuffle과 exchange로 構成되는 모든 N에 대하여 N-節點 shuffle-exchange 그래프라 명한다.¹¹⁾

1) Shuffle-節線(edge)의 定義

Shuffle-exchange 그래프¹²⁾는 $N=2^k$ 節點(node)를 가진다고 할 때 여기서 K는 定數이고 節點들은 0, 1, 2, ..., N-1로 각각 명칭을 붙이기로 한다. 그리고 각각의 節點들을 2진수(binary)로 表記하면 어떤 定數(즉, 0, 1, 2, ..., N-1중에서 어느 하나)의 2진수 표현은 $B_{k-1} B_{k-2} B_{k-3} \dots B_0$ 로 나타낼 수 있다. 단, B는 $0 \leq B \leq 2^k - 1$ 이다. 두 節點 S와 S'가 있을 때 만약 S'가 S의 左 또는 右循環 shift이라면 두 節點은 shuffle 節線으로 연결되는데 그 관계는 다음과 같다. 만약,

$$S = B_{k-1} B_{k-2} \dots B_0 \tag{1}$$

이면 左와 右 shift는

$$S' = B_{k-2} B_{k-3} \dots B_0 B_{k-1}$$

$$S' = B_0 B_{k-1} B_{k-2} \dots B_1 \tag{2}$$

이다.

이와 같이 두 節點 S와 S'의 관계는 shuffle 節線으로 連結(connection)됨을 意味한다.

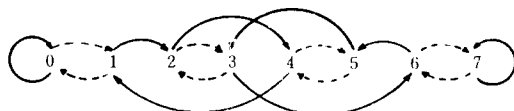
2) Exchange 節線(edge)의 定義

두 節點 S와 S'가 있을 때 이들의 2진수 表記에서 오직 最下位비트(LSB: Least Significant Bit)만이 다르다면, 즉

$$S = B_{k-1} B_{k-2} \dots B_0$$

$$S' = B_{k-1} B_{k-2} \dots \bar{B}_0 \tag{3}$$

이와 같은 관계에 있을 때 두 節點은 exchange 節線으로 連結됨을 意味한다. 1)과 2)의 두 定義로부터 8개의 節點으로 構成된 shuffle-exchange 그래프는 다음과 같다.



— Shuffle
- - - Exchange

그림 1. 8개 절점에 대한 shuffle-exchange 그래프
Fig. 1. The shuffle-exchange graph for N = 8.

2. 複素平面圖形(Complex Plane Diagram)의 定義

D. Hoey와 C. E. Leiserson¹⁰⁾은 複素平面内에서 아주 똑같은 shuffle-exchange 그래프의 移植(embedding)이 있음을 觀察했는데 이와 같은 移植을 複素平面圖形이라 명했다.

K번째 單位 原始根(the primitive root of unity) $\delta_k = e^{j2\pi/k}$ 이라고 할 때 어떤 K비트 節點 $S = B_{k-1} B_{k-2} \dots B_0$ 를 複素平面圖形上에 點으로 나타내는 函數는 다음과 같은 數式을 滿足한다.

$$P(S) = B_{k-1} \delta_k^{k-1} + B_{k-2} \delta_k^{k-2} + \dots + B_1 \delta_k + B_0 \tag{4}$$

만약 N = 8 일때 각각의 節點에 對한 P(S)는 표 1과 같은 結果를 얻을 수 있으며 이것을 複素平面圖形에 나타내면 그림 2와 같다.

표 1. 8개 절점에 대한 복소 평면상의 절점들의 위치

Table 1. The position of nodes on the complex plane diagram for N = 8.

node	binary	p(s) = complex
0	000	(.0000000, .0000000)
1	001	(.1000000, .0000000)
2	010	(-.4999986, .8660263)
3	011	(.5000014, .8660263)
4	100	(-.5000028, -.8660239)
5	101	(.4999973, -.8660239)
6	110	(-1.0000010, .0000024)
7	111	(-.0000013, .0000024)

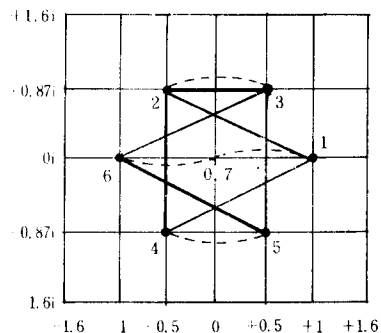


그림 2. 8개의 절점에 대한 복소 평면 도형
Fig. 2. The complex plane diagram for N = 8.

이와 같은 複素平面圖形上의 節點들의 위치는 그리드 모델(grid model)로 移植하여 初期配置하는데 아주 有用하다.

3. Necklace 定義

1) N개의 節點들 중에 어떤 한 節點을 S라고 할 때 이 節點의 모든 循環 shift들의 集合을 necklace¹¹⁵¹라 하며 <S>로 表記하기로 한다. 즉, shuffle 節線들은 原點에 대하여 對稱적으로 위치되어진 사이클(cycle)로 나타내는데 이것을 necklace라 일컫는다. 이와 같은 現象은 다음과 같이 恒等式으로 설명할 수 있다.

$$\begin{aligned} \delta_k P(S) &= \delta_k P(B_{k-1} B_{k-2} \dots B_0) \\ &= \delta_k [B_{k-1} \delta_k^{k-1} B_{k-2} \delta_k^{k-2} \dots B_1 \delta_k B_0] \\ &= B_{k-1} \delta_k^k B_{k-2} \delta_k^{k-1} \dots B_1 \delta_k^2 B_0 \delta_k \\ &= P(B_{k-2} B_{k-3} \dots B_1 B_0 B_{k-1}) \end{aligned} \quad (5)$$

N=8 일때 P(S)로 부터 節點S를 1로 選擇한다면,

P(1)=P(001)

여기서 necklace를 構成하기 위해 δ_k 를 곱해주면,

P(1)= $\delta_k P(001)$ 이 되어

$\delta_k P(001) = P(010) = P(2)$ 가 된다. 다시

$\delta_k P(010) = P(100) = P(4)$

$\delta_k P(100) = P(001) = P(1)$ 이므로 necklace(<S>)를 형성하는 節點들은

<S>=1, 2, 4 (6)

로 나타낼 수 있다. 이것을 그래프로 圖示해 보면 그림 3과 같이 사이클로서 necklace를 形成한다. 그리고 이 necklace는 두 種類로 나눌 수 있는데

(1) necklace가 K 節點을 包含할 때 : 完全 necklace (Full Necklace : FN)

<S>_F=K 절점의 數 (7)

(2) necklace가 K 節點보다 적은 節點을 包含할 때 : 不完全 necklace (Degenerate Necklace : DN)

<S>_D<K 절점의 數 (8)

DN에 해당하는 節點들은 複素平面上에 完全히 原點에 위치하게 된다. 이와같이 full necklace와 degenerate necklace의 關係는 表 2와 같은 結果를 얻을 수 있었다.

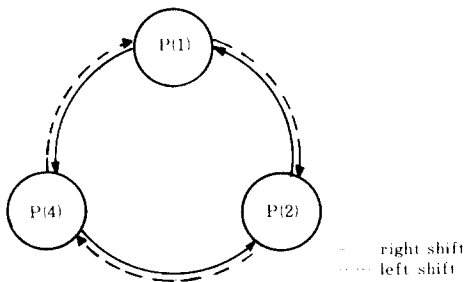


그림 3. Necklace의 예
Fig. 3. Example of the necklace.

표 2. Necklace들의 관계

Table 2. The relation of necklace.

** denotation **

dn <= degenerate-necklace

fn <= full-necklace

ex <= exchange

node	relation
0	dn : 0 ex : 1
1	fn : 2 4 1 ex : 3 5 0
3	fn : 6 5 3 ex : 7 4 2
7	dn : 7 ex : 6

*** each factor counting ***

the number of fn :	2
the number of dn-nodes :	2
the total number of z necklace :	4

2) N-節點으로 부터 DN에 包含되는 모든 節點들은 각각 2진수 表記에 있어서 循環shift에 관해 重要な 對稱性을 가지는데 이것은 P가 K의 素數 除數라고 假定할 때 그림 4와 같이 K/P비트가 P번 反復되어지는 블락(block)들로 構成된다. (단, P≥2)

3) N-節點中에서 위와같은 블락으로 構成되는 K/P비트에 의해

(1) Degenerate necklace에 包含되는 節點의 갯수 : $\sum_{p=2}^{P,K} 2^{k/p} \leq O(N^{1/2})$ (O : Big oh) (9)

(2) Full necklace에 包含되는 節點의 갯수 : $N - O(N^{1/2})$ (10)

(3) Full necklace의 갯수 (FN은 logN절점 包含) : $N/\log N - O(N^{1/2}/\log N)$ (11)

이다.

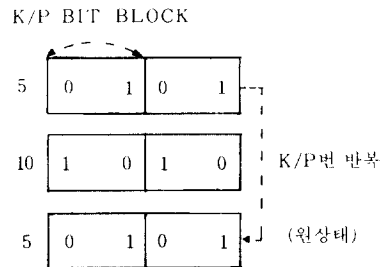


그림 4. Degenerate necklace의 예
Fig. 4. The example of degenerate necklace.

4. 그리드 모델(Grid Model)의 定義

(1) 그리드 모델¹³⁾은 直角(rectangular) 그리드로서 一定한 間隔으로 水平線(horizontal line)과 垂直線(vertical line)들로 트랙(track)을 構成

(2) 각각의 트랙들을 單位 길이로 假定

(3) Wire들을 水平線과 垂直線을 따라 結線하기 위해서 wire들은 하나 또는 그 이상의 層(layers: poly, diffusion, metal)로 이루어지는데 주로 poly와 diffusion層들이 이용

(4) Wire들은 水平線(0°)과 垂直線(90°)을 따라 結線되나 어떤 結線은 45°方向으로도 생각할 수 있는데, 이것은 앞의 두 要素로서 階段形態의 그리드 結線으로 擴張할 수 있으므로 모든 結線을 直角距離(manhattan distance)로 結線

(5) 回路素子(I/O pad, contact cut, 論理素子)은 그리드 交叉點에 위치시킨다.

(6) 그리드 모델에서 垂直 wire들은 相互結線을 위해 윗층(top layer)으로 結線되고 水平 wire들은 아래층(bottom layer)으로 結線

(7) Wire들은 交叉(crossing)는 할 수 있으나 어떤 距離에 대해 겹침(overlap)은 不許

(8) 좁은 그리드 規格에서는 contact cut를 表示하지 않는다.

N = 8에 대한 그리드 모델상의 實現은 그림 5와 같다.

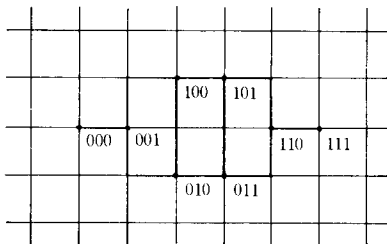


그림 5. 8개의 절점에 대한 레벨-necklace 그리드 모델

Fig. 5. A level-necklace grid model for N = 8.

1) 그리드 모델에서 레이아웃 面積

節點과 配線의 레이아웃을 包含하는 水平트랙의 數(HTN)와 垂直트랙의 數(VTN)의 곱으로 定義

$$\text{Area} = \text{HTN} \times \text{VTN} \tag{12}$$

2) 面積에 關聯되는 評價要素

① layout의 wire面積: layout에서 wire길이 곱

② 交叉數(crossing number): layout에서 두 wire가 交叉하는 點들의 數

③ 最大節線길이(maximum edge length): layout에서 가장 긴 wire의 길이

④ 最大節線交叉(maximum edge crossing): 어떤 한 wire가 다른 wire들을 交叉하는 最大點들의 數

이와 같은 評價要素는 面積에 對한 興味있는 다른 測定方法이 된다.

5. $O(N^2/\log^3 N)$ -面積 레이아웃

N-節點들의 配置에서 겹침(overlap)이 없을 경우 necklace에 의해 占領되는 垂直트랙과 水平트랙의 數를 調査해 보면

1) 垂直트랙의 數

하나의 full necklace는 2개의 垂直트랙을 占領하기 때문에 full necklace가 차지하는 垂直트랙의 數(FVT)는

$$\text{FVT} = 2N/\log N \tag{13}$$

그리고 degenerate 節點은 節點 하나가 하나의 necklace를 차지한다고 볼 때, 垂直트랙 하나를 차지하게 되므로 式(9)로부터 degenerate necklace가 차지하는 垂直트랙의 數(DVT)는

$$\text{DVT} = O(N^{1/2}) \tag{14}$$

전체 수직트랙의 數(TVT)는

$$\text{TVT} = 2N/\log N + O(N^{1/2}) \tag{15}$$

이다.

2) 水平트랙의 數

Exchange 節線들의 最大겹침(overlap)을 類推해서 水平트랙의 數를 算定할 수 있는데 이것은 逆으로 해석하면 最大겹침으로부터 전혀 겹침이 없도록 펼칠 때 占領되는 水平트랙의 수이다. 여기서 exchange 節線들에 대한 겹침은 적어도

$$O(\max_{0 \leq s \leq k} B_s)$$

여기서, S(size): 절점의 2진수 표기에서 "1"을 포함하는 수

B_s : 사이즈가 S인 절점들의 수

또는 B_s 는 다음과 같이 나타낼 수 있다.

$$B_s = C(k, s) = \frac{k!}{S! (k-s)!} \tag{17}$$

$C(k, s)$ 는 어떤 定數 k에 대해 $s = k/2$ 에서 最大값을 가지므로

$$\begin{aligned} O(\max_{0 \leq s \leq k} B_s) &= B_{k/2} \\ &= C(k, k/2) \\ &= (2/\pi)^{1/2} (2^k/k^{1/2}) \\ &= (2/\pi)^{1/2} (N/\log^{1/2} N) \end{aligned} \tag{18}$$

그러므로 전체 水平트랙의 數(THT)는

$$\begin{aligned} \text{THT} &\leq B_{k/2} + O(N/\log^{3/2} N) \\ &= (2/\pi)^{1/2} (N/\log^{1/2} N) + O(N/\log^{3/2} N) \end{aligned} \tag{19}$$

3) 레이아웃의 總面積

$$\begin{aligned} \text{Area} &= \text{TVT} \times \text{THT} \\ &= 2(2/\pi)^{1/2} (N^2/\log^3 N) + O(N^2/\log^3 N) \quad (20) \end{aligned}$$

III. 알고리즘 提示

P(s)는 複素平面上에 節點들의 위치를 決定해 주는 函數로서 初期配置를 行할 때 이 函數에 의해 決定된 複素平面圖形을 利用하였는데, 이와같이 하면 節點數가 많아지면 複素平面上에 복잡한 절점들의 分布를 그리드 모델로 移植하여 初期配置하는데 많은 복잡성과 昏亂을 招來할 수 있으므로 本 論文에서는 기존의 P(s) 函數를 매트릭스로 利用해 프로그램으로 직접 初期配置하였다.

알고리즘 實現은 다음과 같이 7 단계로 實現한다.
[단계1] P(s)를 利用해 節點들을 매트릭스(matrix)로 排列한다.

[단계2] Shuffle과 exchange 그리고 full necklace들과 degenerate necklace들의 關係는 定義로 부터 表 2와 같이 表記되고, 그리고 중요한 necklace의 순서는 exchange로 연결되는 節點들이 最大한으로 짧게 配線이 되도록 하기 위해 각각의 necklace에서 가장 작은 수를 基準으로 올림순으로 表 2와 같은 順序로 necklace들을 配置한다.

단, [단계1]의 매트릭스 形態로 부터 [단계2]의 過程을 行할 때 반드시 레벨의 위치를 保存한다.

[단계3] 이 初期配置로 부터 exchange 節線의 길이와 面積에 대한 각각의 評價要素를 구한다. 配置 S에서 exchange 節線의 總配線長(W_e(S))은

$$W_e(S) = \sum_{0 \leq i < j < N-1} C_{ij} d_{s_i s_j} \quad (21)$$

이다. 여기서 C_{ij}는 隣接매트릭스(adjacency matrix)로 다음과 같은 關係를 갖는다.

C_{ij} = 0 : i번째와 j번째 節點 사이에 exchange 節線이 不在時

C_{ij} = 1 : i번째와 j번째 節點 사이에 exchange 節線이 存在時

N=8일때 exchange 연결 매트릭스는 그림 6과 같다.

그리고 (21)식의 d_{s_is_j}는 配置 S에서 i번째 節點과 j번째 節點 사이의 距離(distance)를 나타내는데 二次元 配置에서는 d_{s_is_j} = √(x₁-x₂)² + (y₁-y₂)² (22)이다.

[단계4] 初期配置에서 最大限度로 exchange 節線의 길이를 줄이기 위해 각각의 necklace에서 반드시 表 2와 같이 節點들이 shuffle 關係를 維持하는 限度內에서 偶數節點은 右垂直트랙으로, 奇數節點은 左垂直트랙으로 移動시킨다.

	0	1	2	3	4	5	6	7
0		1	0	0	0	0	0	0
1			0	0	0	0	0	0
2				1	0	0	0	0
3					0	0	0	0
4						1	0	0
5							0	0
6								1
7								

그림 6. Exchange 연결 매트릭스(N=8)
Fig. 6. The Exchange connection matrix for N=8.

[단계5] 初期配置에서 發見되는 配線의 結침은 分布量性을 증가시켜 데이터의 전달을 遲延시키므로 結침이 없게 配置한다.

[단계6] 節點들 중에서 degenerate 節點과 exchange 節線으로 연결되는 두번째와 끝에서 두번째 節點은 附加의인 面積을 줄이기 위해 먼저 두번째 節點을 이 節點이 위치하는 垂直트랙의 위치(VTP)에서 VTP+1인 위치로 옮기고 그리고 水平트랙의 위치 決定은 VTP+1의 垂直트랙 위치에 存在하는 節點들 중에서 맨 아래쪽에 존재하는 節點의 水平트랙의 위치(HTP)로부터 HTP+1인 水平트랙에 配置시킨다. 그리고 끝에서 두번째 節點은 두번째 節點과 동일한 過程이나 VTP+1 대신에 VTP-1로 대체시키면 위와 같은 過程으로 配置되어 附加의인 面積을 줄인다.

[단계7] 각각의 수직트랙에 위치하는 어떤 節點과 exchange로 配線되는 節點은 結침이 없이 shuffle의 順序를 保存하는 範圍內에서 현재의 水平트랙의 위치로 부터 왼쪽으로 끌어 올리는 過程을 전체 節點에 대해 실행하여 [단계3]의 過程을 反復한다.

IV. 프로그램 實行과 結果

提示한 알고리즘을 利用해 N-節點에 대한 配置 프로그램 實行過程은 그림 7과 같이 N-절점을 입력해서 最終配置 結果와 評價要素를 출력한다.

N=32일 때 初期配置와 評價要素의 結果는 그림 8과 같고, 이 初期配置를 最終配置로 實行한 結果는 그림 9와 같다.

이와같이 初期配置와 最終配置에 대한 評價要素를 비교해보면 表 3과 같다.

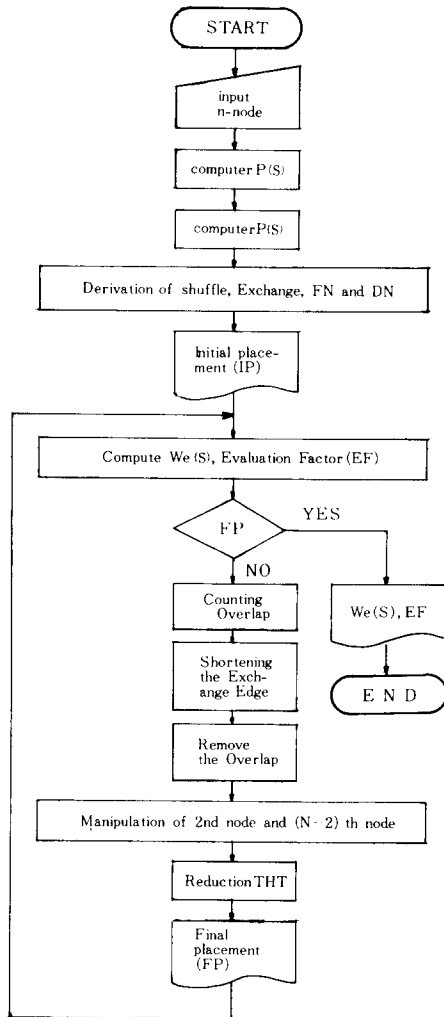


그림 7. 배치 프로그램 흐름도
Fig. 7. Flow chart.

표 3. 평가요소 비교

Table 3. Comparison of the evaluation factor.

평가요소	배치	초기배치	최종배치
최대 crossing의 수		5	5
exchange 절선의 최대길이		6	6
전체 exchange 절선의 길이		61	38
전체 crossing의 수		45	18
exchange 절선의 수		16	16
소요된 수평트랙의 수		9	7
소요된 수직트랙의 수		16	12
레이아웃의 종면적		144	84

```

***** node=32 *****
***** initial placement *****
0 0 0 0 6 0 0 0 0 7 0 0 0 0 0 0
0 0 0 2 0 3 0 0 14 0 0 0 15 0 0 0
0 0 4 0 0 0 0 5 0 0 22 0 0 23 0 0
0 0 0 0 0 0 10 0 0 0 0 11 0 0 0 0
0 0 0 1 12 0 0 18 0 19 13 0 30 0 0 31
0 0 0 0 0 0 20 0 0 0 0 21 0 0 0 0
0 0 8 0 0 0 0 9 0 0 26 0 0 27 0 0
0 0 0 16 0 17 0 0 28 0 0 0 29 0 0 0
0 0 0 0 24 0 0 0 0 25 0 0 0 0 0 0
    
```

```

*** each factor counting of initial placement ***
the number of fn :      6
the number of dn-nodes : 2
the total number of necklace : 8
the number of vertical track : 16
the no. of horizontal track : 9
    
```

```

***** each parameter for area *****
the number of maximum crossing : 5
the maximum length of exchange edge : 6
the total length of exchange edge : 61
the total number of crossing : 45
the number of exchange edge : 16
    
```

```

***** overlap counting *****
the number of overlap : 1
    
```

그림 8. 32-절점의 초기배치

Fig. 8. The initial placement for N=32.

```

***** final placement *****
0 2 3 6 0 0 7 14 0 0 0 15 0
0 4 0 0 5 10 0 0 11 1 22 23 0
0 0 0 12 0 0 0 0 0 0 13 0 0
0 0 0 0 18 0 19 0 0 0 26 27 0
0 8 0 0 9 20 0 0 21 1 0 0 0
0 16 17 24 0 0 25 28 0 0 0 29 0
0 1 0 0 0 0 0 0 0 0 0 31 30 0
    
```

```

***** each parameter for area *****
the number of maximum crossing : 5
the maximum length of exchange edge : 6
the total length of exchange edge : 38
the total number of crossing : 18
the number of exchange edge : 16
the number of vertical track : 12
the number of horizontal track : 7
    
```

그림 9. 32-절점의 최종 배치

Fig. 9. The final placement for N=32.

V. 結 論

本論文에서는 $O(N^2/\log^2 N)$ -面積에 對해서 節點數가 많은 경우에 複素平面上의 節點들의 分布로 認識해 初期配置하는데 많은 複雜性과 正確性에 要求되는 시간을 줄이기 위해 $P(s)$ 函數에 매트릭스를 利用해 配置 프로그램을 完結 CAD(Computer Aids to

Design)化 했으며 本 알고리즘은 $O(N^2/\log^3 N)$ -面積에서 exchange 節線의 길이를 最大로 줄일 수 있었고, 그리고 面積도 줄어들게 할 수 있었다. 또한 節點數가 적은 配置에서는 겹침(overlap)이 적어 本 알고리즘이 최적배치임을 알 수 있었다.

절점의 수	Overlap수	비 고
N = 4	1	최적배치 = $O(N^2/\log^2 N)$ - 면적
N = 8	0	최적배치 = $O(N^2/\log^2 N)$ - 면적
N = 32	1	최적배치 = $O(N^2/\log^2 N)$ - 면적
N = 16	4	$O(N^2/\log^3 N)$ - 면적
N = 64	29	$O(N^2/\log^3 N)$ - 면적
N = 128	21	$O(N^2/\log^3 N)$ - 면적

參 考 文 獻

[1] Leighton, F.T., "Complexity issues in VLSI", The MIT press, 1983.
 [2] Parker, D.S., "Notes on shuffle/exchange-type switching networks", *IEEE transactions on computers*, vol. c-29, no.3, pp. 213-222, March 1980.
 [3] Thompson, C.D., "A Complexity theory for VLSI", Ph. D. Thesis, Department of Computer Science, *Carnegie-Mellon University*, 1980.

[4] Chun-Lin Wu and Tse-Yun Feng, "on a class of multistage interconnection networks", *IEEE Transactions on Computers* vol.C-29, no.8, pp.694-702. August 1980.
 [5] Leighton, F.T. and Miller, G.L., "Optimal layouts for small shuffle-exchange graphs", *VLSI 81-Very Large Scale integration*, edited by *John Academic Press*, pp.289-299, August 1981.
 [6] Ullman, J.D., "Computational aspects of VLSI", *Computer science press*, 1984.
 [7] Narsingh Deo, "Graph theory with applications to engineering and Computer Science", *Prentice-Hall, Inc.*, 1974.
 [8] Leon Steinberg, "The backboard wiring problem: A placement algorithm", *SIAM Review*, vol.3, no.1, pp.37-50. January 1961.
 [9] Bender, C.M. and Orszag, S.A., "Advanced Mathematical Methods for Scientists and Engineers, *McGraw-Hill Book Company* New York, 1978.
 [10] Hoey. Dand Leiserson. C.E., "A Layout for the Shuffle-exchange network", *Proceedings of the 1980 IEEE Conference on Parallel Processing*, August 1980.